

## II-195 二層流の混合に関する実験

山梨大学工学部 正員 村 幸雄  
山梨大学工学部 正員 萩原能男  
山梨大学工学部 正員 ○砂田義吾

1. はじめに、温排水の放流については、これまでに多くの研究がある。その主なものは河口または排水口より海城表層への放水モデル<sup>1)</sup>、またこの他には水中への各種の噴流の検討などが挙げられる。これらはそれぞれ、排水噴射点における渦動性のまき込みおよび噴流の浮揚に要約される。本報告では周囲水の渦動による拡散を考えてみた。図-1にそのモデルを示すが、温排水が海城に至る前段の水路での混合希釈を考えている。このモデルは様々な過程が重なり、一般的な混合ともならず。即ち、浮力束が大きく密度分布などの仮定が困難であり、流下する周囲水の条件は拡散に直接関係する。従来この問題を扱った研究は殆どないようと思われ、筆者らは上層、下層混水逆転の効果、拡散混合度などについて実験的に検討してみた。

### 2. 支配物理量

i) 次元解析。図-1のような水路で $x$ における混合状態を支配する変数は、 $H$ :全水深、 $h_1$ :下層水深、 $u_1$ ,  $u_2$ :上層および下層の流速、 $\Delta\rho g$ :比重差、 $P_1, P_2$ :上層および下層流体の密度、 $\mu_1, \mu_2$ :上層および下層流体の粘性係数。が考えられる。π定理により、 $h_1, u_1, u_2, P_2$ を一次量に選べば、次の様な無次元量が得られる。 $y(h_1H, h_1/x, u_1h_1, u_2/h_1, P_2/P_1, h_1u_2P_2/\mu_1, h_1u_2/\mu_2) = 0$

ii) 単純モデル。混合の基準をその領域にとり、その幅を支配する要因を個別に看れば、伝導(分子拡散)、対流(浮力)、乱流拡散および分散、さらに連続の条件などに要約される。このうち、分子拡散は小さいとして無視する。

(a) 浮力による効果は図-2を参照して、運動方程式  $d\beta/dx = \Delta\rho g / P_2$

( $\beta$ : $x$ 方向流速)より、 $x = \frac{1}{2}(u_1 + u_2)x$  とおいて、 $x = l_0$ で次式を得る。

$$\beta = \frac{2\Delta\rho g l_0}{P_2(u_1 + u_2)^2} \quad (1) \quad \text{これは変形された Richardson 数である。}$$

(b) 亂流拡散効果は図-3を参照して、一様流の場で Schlichting により簡単に  $D = \frac{3}{2}\lambda^2(u_1 - u_2)x$  ( $\lambda$ :定数)、前段と同様に  $x = \frac{1}{2}(u_1 + u_2)x$  から。

$$\beta = \frac{D}{x} = 3\lambda^2 \frac{u_1 - u_2}{u_1 + u_2} = C \frac{u_1 - u_2}{u_1 + u_2} \quad (2) \quad (C: \text{定数}) \text{を得る。一方、乱流拡散による混合領域の幅} D \text{は}$$

乱流境界層に相似させるとすれば、 $\beta$ は尾数にも支配されて次式で示される。

$$\beta = f(1/Re) \quad (3)$$

(c) 連続の条件の場合は、図-4を参照して、混合の結果流速は一様分布になると仮定し、領域中心の移動量  $l_{ST}$  を用いて、断面①~④間で条件として次式を得る。

$$u_1h_1 = u(h_1 - l_{ST}), \quad u_2h_2 = u(h_2 + l_{ST}) \quad \text{これより, } l_0$$

間ににおける  $l_{ST}$  の平均変化率  $\beta_L$  として次式が示される。

$$\beta_L = \frac{-(u_1 - u_2)h_1h_2}{(u_1h_1 - u_2h_2)l_0} \quad (4) \quad h_1 = h_2 = h \text{ のとき}$$

は簡単な

$$\beta_L = -\frac{h}{l_0} \left( \frac{u_1 - u_2}{u_1 + u_2} \right) \quad (5)$$

となる。

3. 実験装置と実験。実験装置の概略は図-5に示す通りである。

混合水路は透明アクリル樹脂製、長さ 250cm、幅 10cm、高さ 38cm である。上流に冷水・温水の供給交

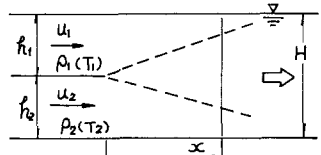


図-1 混合状態

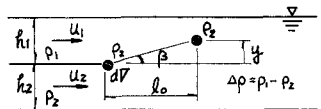


図-2

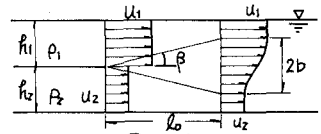


図-3

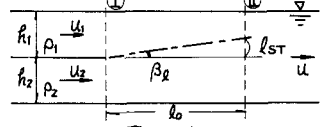


図-4

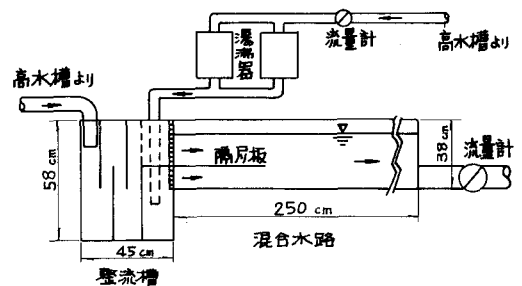


図-5 実験装置

換が可能な整流槽を備えている。混合水路の始点から 50 cm を隔層板とし 1 mm の塗装平板を接着した。温水は、ガス瞬間湯沸器 (36,100 kcal/h) を 2 台並列使用して供給した。温度測定にはサーミスタ型温度計を用い、水路中心に沿って、始点より 10 cm, 20 cm, 30 cm 間点を鉛直温度分布を測定した。流速測定には木素気泡を用いて導真観測したが、周期の長い乱れが生じており精度は低く流速分布の実験結果を見るとどめた。

4. 混合係数 混合領域の幅は図-6 を参照して次の様に定めた。先ず  $l_{ST}$  を温度中心の変化とする。これは本来混合変化的端点までを考えるべきであるが、精度上混合過程の相似性を仮定して温度差 ( $\Delta T$ ) の  $\frac{1}{4}$  を加減し、 $bT = \frac{1}{2}(y_a - y'_a)$ ,  $bT_1 = y_a - y_m$ ,  $bT_2 = y_m - y'_a$  とした。 $k_2$  を用いて  $bT_1 = y_a/k_2$ ,  $bT_2 = y'_a/k_2$  が考えられるがここでは省略して結局、混合係数に  $\beta_T = bT/l_{ST}$ ,  $\beta_{T1} = bT_1/l_0$ ,  $\beta_{T2} = bT_2/l_0$ ,  $\beta_L = l_{ST}/l_0$  を定めてこれらを検討する。

5. 結果と考察 図-7 は温度分布の一例である。下層水深 5 cm で温水を配した場合を基準として、 $x=10$  cm の位置での混合の状態を以下の図に示す。相対速度について調べたのが図-8, 9 である。下層温水の場合、温度差を考慮して整理した。

$\beta_T$  は  $\frac{U_1 - U_2}{U_1 + U_2}$  に関係するがそれ程顕著ではない。それは一様流の仮定に問題があることを示している。上層の場合に比較して下層温水の  $\beta_T$  は確かに大である。図-10, 11 は  $\beta_L$  について調べている。連続の条件から示される  $\frac{U_1 - U_2}{U_1 + U_2}$  との関係は、明らかに比例関係にあり、相対速度は  $\beta_L$  に対して支配的物理量となり得る。一方図-11 では、浮力の効果が速度差によらず相殺されないよう注意したが、その傾向を抑むのは難かしい。また、浮力効果と混合幅について、相対速度の影響の大きさを考えて示せば図-12 のようになる。 $\frac{k_1}{k_2} = 15/5$  の場合  $\beta_L$  が大きいのは実験値の下層の  $Re$  数が小さいためと考えられる。混合幅と層別にとった  $Re$  数との関係は図-13 のようになる。単純な仮定ではあるが傾向が判り、結果は興味あるものとなっている。今回の実験の範囲では、混合の中心が主として速度差に支配されること、その上で浮力効果は補助的に混合を促す。これはまた  $Re$  数にも関係していることなどが判った。最後に、実験に協力された大野徳幸、金沢知信の両氏に謝意を表します。

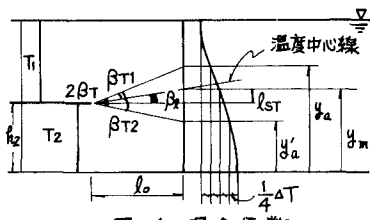


図-6 混合係数

case ( $U_1 = 9.01 \text{ cm/sec}$ ,  $U_2 = 9.34 \text{ cm/sec}$ ,  $(Re_1 = 7430, Re_2 = 4850)$

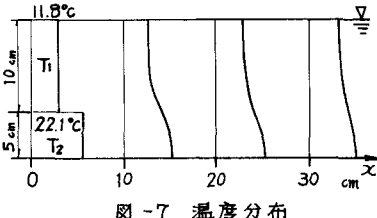


図-7 温度分布

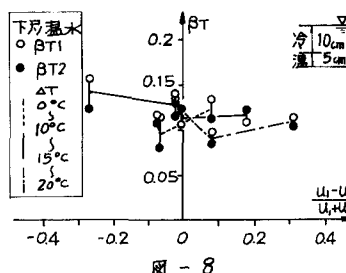


図-8

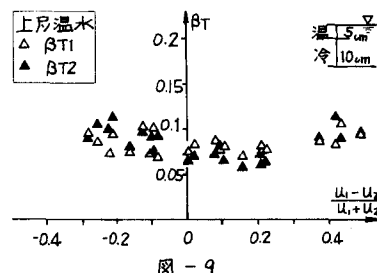


図-9

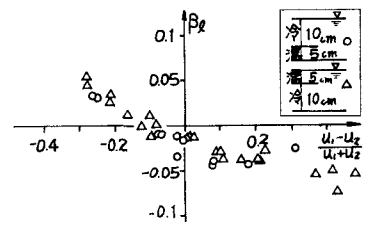


図-10

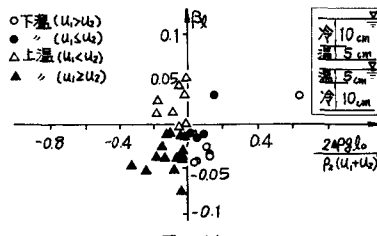


図-11

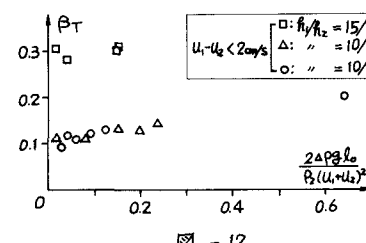


図-12

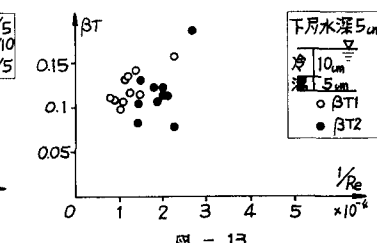


図-13

文献 1) Ellison & Turner: Turbulent entrainment in stratified flows, J. Fluid Mech., Vol. 6, 1959  
2) Abraham: Horizontal jets in stagnant fluid of other density, ASCE, HY4, 1965  
3) パーカー・フレンケル編、清水石川訳：熱と温排水の処理技術、ラティス、1973